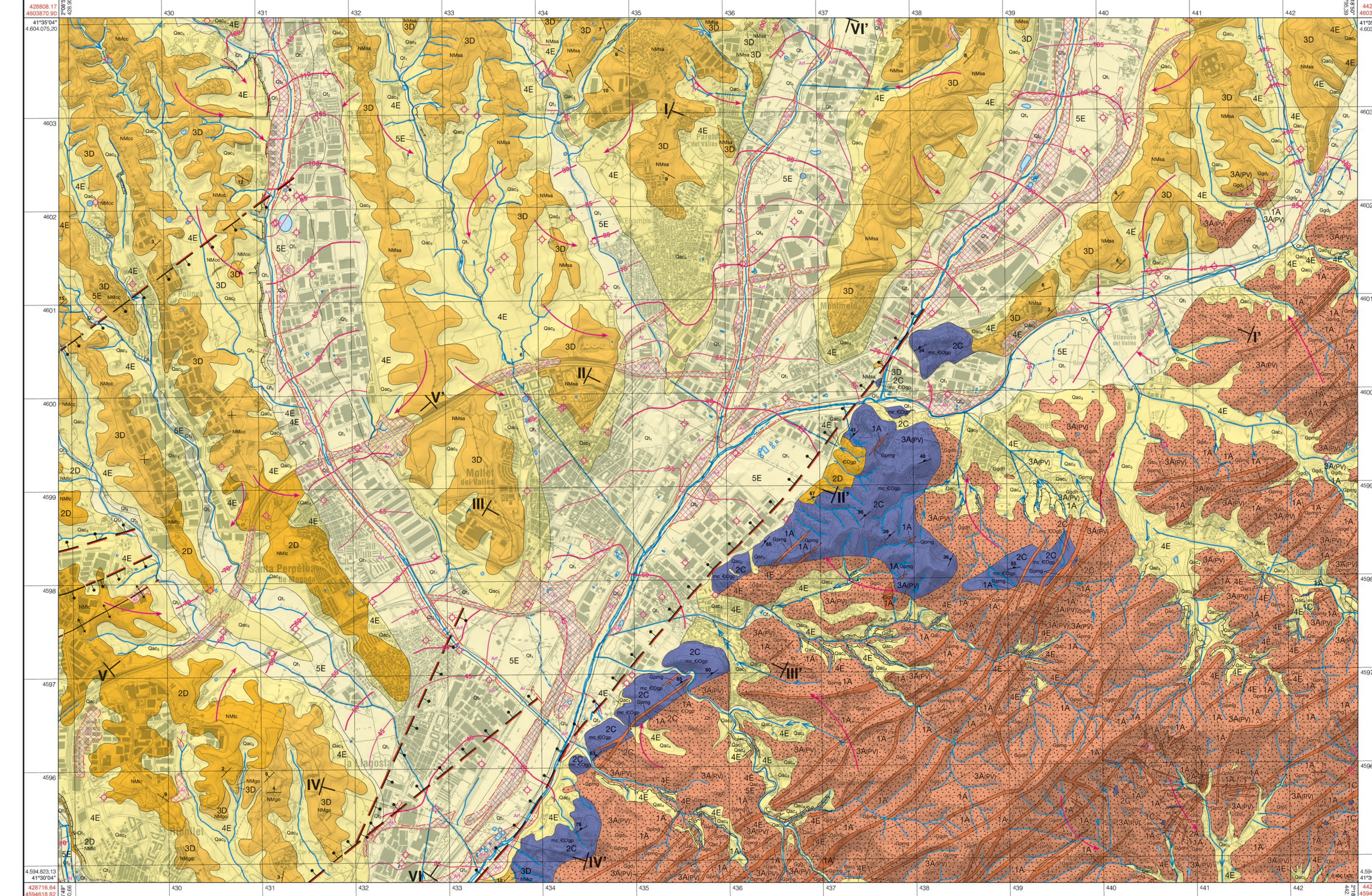


Mapa hidrogeològic 1:25 000

**Mollet del Vallès 393-1-2 (73-30)**



© Base temàtica: Institut Geològic de Catalunya (IGC), Agència Catalana de l'Aigua (ACA)  
© Base altimètrica i planimètrica: BTC25m Institut Cartogràfic de Catalunya (ICC)

Aquest document és protegit per la Llei. Es prohibeix qualsevol reproducció total o parcial, per qualsevol mitjà, si no ha estat expressament autoritzada per l'IGC, ACA i l'ICC.

Produït per: © Institut Geològic de Catalunya (IGC)  
© Agència Catalana de l'Aigua (ACA)  
© Institut Cartogràfic de Catalunya (ICC)

Edició i publicació: © Institut Cartogràfic de Catalunya (ICC)

Primera edició: juliol 2011 Data de vol planimetria: juny 2004 Dipòsit Legal: B. 29 856-2011

**Escala 1: 25 000**

Convergència de la quadrícula  $\omega$ :  $0^\circ 30' 37,41''$  W

Dades referides al centre del full

El-lipsode de Hayford. Datum Europeu. Longituds referides al meridià de Greenwich. Altituds referides al nivell mitjà del mar a Alacant. Projecció UTM. Equidistància de les corbes de nivell: 10 metres.

Valor mitjà de la declinació magnètica el juny de 2011  $\delta: 0^\circ 17' 34,18''$  E

Variació anual:  $0^\circ 7' 34,74''$  E

NP: nord de la projecció  
NM: nord magnètic  
NG: nord geogràfic

	A	A. Acumulacions d'origen antròpic. Blocs, graves, sorres, llims i argiles. Poden ser runam d'activitats extractives (Ar), terraplenats d'estructures viàries (At) o rebliment de rieres (Arf).
	5E	Qt <sub>0</sub> . Graves, gravetes i sorres amb un percentatge baix de llims. Permeabilitat alta obtinguda a partir de la descripció litològica.
	5E	Qt <sub>1</sub> . Graves amb matriu sorrenca a la base, cap a sostre i de manera transicional passen a sorres grolleres amb graves disperses i, finalment, a llims sorrencs amb alguna filada lenticular de gravetes. Permeabilitat alta (50-150 m/d) obtinguda a partir de dades provinents d'assaigs de bombament a l'aqüifer al-luvial de la cubeta de la Llagosta (AACL), l'aqüifer al-luvial de la Riera de Caldes (AARC), l'aqüifer al-luvial del Tenes (AATN), l'aqüifer al-luvial del Congost (AAC) i l'aqüifer al-luvial del Mogent (AAM). Coeficient d'emmagatzematge de 0,1-0,15.
	5E	Qt <sub>2</sub> . Graves poc consolidades, mal seleccionades i amb matriu sorrenca a la base. Cap a sostre, guanyen progressivament en matriu llimosa, fins a ser llims vermells amb concrecions de carbonat de calcí. Permeabilitat alta (50-250 m/d) obtinguda a partir de dades provinents d'assaig de bombament als aqüífers al-luvials de la cubeta de la Llagosta (AACL), de la Riera de Caldes (AARC) i del Mogent (AAM). Coeficient d'emmagatzematge de 0,1-0,15.
	4E	Qac <sub>3</sub> . Graves subarrodoides, mal seleccionades amb matriu sorrenca-llimosa. Permeabilitat mitjana obtinguda a partir de la descripció litològica.
	4E	Qac <sub>4</sub> . Graves de subanguloses a anguloses, amb matriu sorrenca grollera arcòsica. Permeabilitat mitjana obtinguda a partir de la descripció litològica.
	3D	NMgo. Intercalacions de gresos, lutites i nivells de conglomerats polimèctics. Permeabilitat moderada obtinguda a partir de la descripció litològica.
	3D	NMcc. Conglomerats amb alguns nivells de gresos arcòsics i lutites. Permeabilitat moderada (0,1-5 m/d) obtinguda a partir de dades provinents d'assaig de bombament al sector de Polinyà (ADMV).
	2D	NMic. Lutites i gresos arcòsics amb intercalacions de nivells de graves. Permeabilitat baixa obtinguda a partir de la descripció litològica.
	3D	NMcr. Conglomerats de clasts subrodats amb matriu de sorres grolleres llimoses. Permeabilitat moderada obtinguda a partir de la descripció litològica.
	3D	NMsa. Sorres arcòsiques amb intercalacions de graves i de lutites. Permeabilitat moderada obtinguda a partir de la descripció litològica.
	1C	fq. Quars en filons. Permeabilitat molt baixa, segons la descripció litològica.
	1C	es. Episienites. Permeabilitat molt baixa, segons la descripció litològica.
	2C	mc\_EOgp. Cornubianites: pissarres pigallades, fil·lites pigallades i cornianes. Permeabilitat baixa, segons la descripció litològica.
	1A	Gplm. Pòrfirs leucomonzonigranítics. Formen un sol dic aïllat de 5 a 10 m d'amplada i centenars de metres de longitud. Permeabilitat molt baixa, segons la descripció litològica.
	1A	Gpmg. Pòrfirs monzonograncítics i granodiorítics. Formen dics d'amplada mètrica i de longitud decamètrica a quilomètrica. Permeabilitat molt baixa, segons la descripció litològica.
	1A	Gpto. Pòrfirs tonalítics i granodiorítics biotíticohornblèndics. Formen dics dispersos i poc abundants. Permeabilitat molt baixa obtinguda a partir de la descripció litològica.
	1A	Gpqd. Pòrfirs quarsidiorítics i diorítics biotítics i/o biotíticohornblèndics. Formen dics estrets d'1 a 5 m d'amplada i centenars de metres de longitud. Permeabilitat molt baixa, segons la descripció litològica.
	2A(Py)	Gmd. Microdiorites i microgranodiorites afíriques que formen dics de 0,5 a 2 m d'amplada. Permeabilitat baixa, segons la descripció litològica.
	1A	Gap. Aplites. Permeabilitat molt baixa obtinguda a partir de dades bibliogràfiques i la descripció litològica.
	3A(Py)	GmgI. Monzonograncítics biotítics leucocràtics. Permeabilitat equivalent moderada amb indicis de gran variabilitat especialment en zones alterades i/o fracturades, on pot ser superior. Valors obtinguts a partir de la descripció litològica i estructural.
	3A(Py)	Ggd <sub>2</sub> . Granodiorites biotítiques amb biotites d'hàbit prismàtic. Permeabilitat equivalent moderada amb indicis de gran variabilitat, especialment en zones alterades i/o fracturades, on pot ser superior. Valors obtinguts a partir de dades de la descripció litològica i estructural.
	3A(Pv)	Ggdh. Granodiorites biotítiques amb hornblenda. Permeabilitat equivalent moderada amb indicis de gran variabilitat, especialment en zones alterades i/o fracturades, on pot ser superior. Valors obtinguts a partir de la descripció litològica i estructural.
	3A(Pv)	Gto <sub>3</sub> . Tonalites biotíticohornblèndiques. Permeabilitat equivalent moderada amb indicis de gran variabilitat, especialment en zones alterades i/o fracturades, on pot ser superior. Valors obtinguts a partir de la descripció litològica i estructural.
	1A	Gqd. Quarsidiorites biotítiques o biotíticohornblèndiques. Permeabilitat molt baixa obtinguda a partir de la descripció litològica.
	2D	EOgp. Lutites grises amb intercalacions locals mil·limètriques de gresos de gra fi. Permeabilitat baixa, obtinguda a partir de la descripció litològica.

	MB	B	Mo	M	A	MA	PV
Roques plutòniques	1A	2A	3A	4A	5A	6A	(PV)
Roques volcàniques	1B	2B	3B	4B	5B	6B	(PV)
Roques metamòrfiques	1C	2C	3C	4C	5C	6C	(PV)
Roques detritiques consolidades	1D	2D	3D	4D	5D	6D	(PV)
Roques detritiques no consolidades	1E	2E	3E	4E	5E	6E	(PV)
Roques carbonàtiques	1F	2F	3F	4F	5F	6F	(PV)
Roques evaporítiques	1G	2G	3G	4G	5G	6G	(PV)
Roques orgàniques	1H	2H	3H	4H	5H	6H	(PV)

La taula litologia/permeabilitat mostra l'encreuament de valors litològics i rangs de permeabilitat. En el cas de la permeabilitat variable, quan hi ha indicis que la permeabilitat pot ser diferent a les dades provinents d'assajos (per exemple carstificació en superfície) s'incorpora el doble valor permeabilitat calculada / permeabilitat teòrica bibliogràfica.

#### Valors de permeabilitat ( $k$ ) en m/dia

Barrera hidràulica			Mal aqüifer				Bon aqüifer			
$10^{-6}$	$10^{-5}$	$10^{-4}$	$10^{-3}$	$10^{-2}$	$10^{-1}$	$10^0$	$10^{+1}$	$10^{+2}$	$10^{+3}$	$10^{+4}$
MB	B		Mo		M		A		MA	
$k < 10^{-4}$	$10^{-4} < k < 10^{-2}$		$10^{-2} < k < 10^0$		$1 < k < 50$		$50 < k < 500$		$k > 500$	

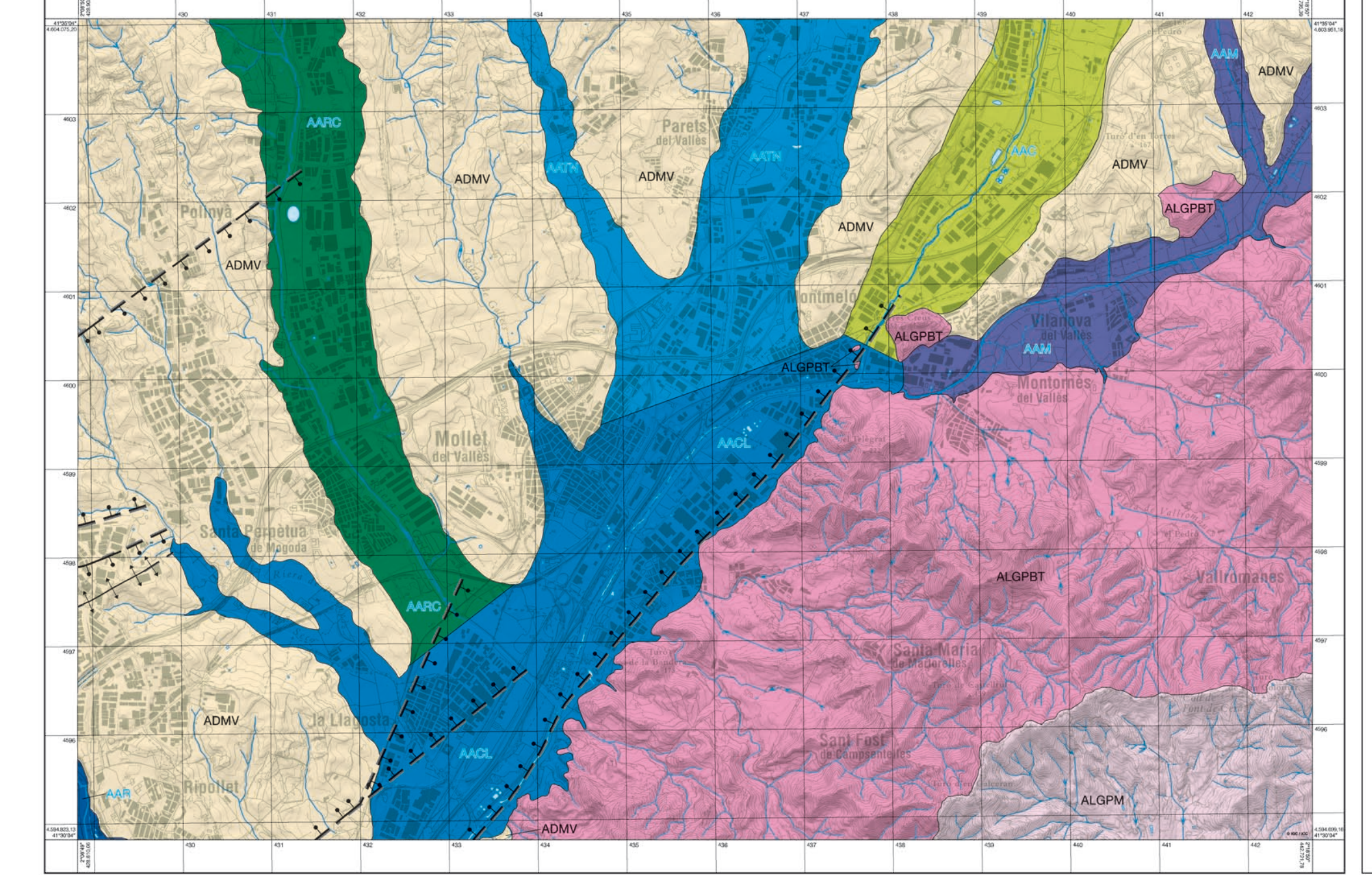
**Tipus de permeabilitat:** MB: molt baixa; B: baixa; Mo: moderada; M: mitjana; A: alta; MA: molt alta.

#### Signes convencionals

- Contacte geològic indiferenciat
- — Escarpament intraal·luvial
- — — Contacte de dipòsit antròpic
- 50 — Isolínia mestra de nivell de l'aqüifer lliure (en metres sobre el nivell de la mar)
- 45 — Isolínia de nivell de l'aqüifer lliure (en metres sobre el nivell de la mar)
- Línies de flux
- Curs fluvial
- — Curs fluvial de doble marge
- > Punt de pèrdua de drenatge
- Estany, embassament
- Presa, resclosa
- Recs, canals i sèquies
- Piscina
- Bassa, dipòsit
- Falla normal
- — Falla normal suposada
- — Falla normal fossilitzada
- ↑ — Anticinal
- ↓ — Anticinal fossilitzat
- 18 — Cabussament de l'estratificació
- 11 — Cabussament clivatge regional hercinià
- Font
- Pou amb dada de nivell (campanya de camp)
- Pou d'abastament urbà amb volum d'extracció  $< 10\,000\text{ m}^3/\text{any}$
- Pou d'abastament urbà amb volum d'extracció  $10\,000\text{--}100\,000\text{ m}^3/\text{any}$
- Pou d'abastament urbà amb volum d'extracció  $100\,000\text{--}1\,000\,000\text{ m}^3/\text{any}$
- Canvi de direcció del tall
- K Límit i número de tall geològic
- Traça de tall hidrogeològic

The image shows a geological map of Catalonia at a scale of 1:25,000, specifically focusing on the area around Mollet del Vallès. The map is color-coded to represent different geological units, with various symbols indicating mineral deposits and hydrogeological features. A red box highlights a specific area in the central part of the map. The title 'Mapa geològic de Catalunya' and 'Geotreball V. Mapa hidrogeològic' are prominently displayed at the top. Below the map, there is a detailed inset showing the town of Mollet del Vallès with its surrounding areas. Logos for the Institut Geològic de Catalunya (IGC), Agència Catalana de l'Aigua (ACA), and Institut Cartogràfic de Catalunya (ICC) are visible.

Aquifers 1:50 000



**Llegenda**

### Àrea hidrogeològica de la Depressió del Vallès (304)

**AACL** Aqüifer al-luvial de la cubeta de la Llagosta (304A11)  
Aqüifer superficial de comportament lliure, format principalment per grava, sorres i llims. La potència màxima és d'uns 25 metres. La recàrrega natural es produeix per infiltració d'aigua de pluja i per flux subterrani procedent dels aqüífers al-luvials de la Riera de Caldes (AARC), del Tenes (AAT), del Congost (AAC) i del Mogent (AAM). La recàrrega també es produeix per infiltració dels lits del riu en les zones on aquest és influent i a través del seu propi al-luvial durant avençades. L'aqüifer al-luvial i el Besòs es troben connectats. També cal considerar el flux subterrani procedent de l'aqüifer detritic miocè del Vallès (ADMV) i, al sud-est, des dels aqüífers locals en medis de baixa permeabilitat als granits i pissarres litorals del Besòs - Tordera (ALGPBT). Altres fonts de recàrrega són els retorns de reg i les pèrdudes de les xarxes d'abastament i sanejament. La descàrrega principal es produeix per extraccions i per flux subterrani en direcció sud cap a Montcada. La descàrrega es produeix a través del riu quan aquest és efluent.

**AAR** Aqüifer al-luvial del Ripoll (304A12)  
Aqüifer superficial de comportament lliure, format principalment per grava amb matriu sorrenca, sorres i llims. La potència màxima és d'uns 10 metres. La recàrrega natural es produeix per infiltració d'aigua de pluja i a través del seu propi al-luvial durant avençades i mitjançant les fonts que drenen l'aqüifer del ventall al-luvial de Terrassa (AVAT). La descàrrega es produeix per flux subterrani a través de l'al-luvial en direcció sud-est i per extraccions.

**AARC** Aqüifer al-luvial de la Riera de Caldes (304A13)  
Aqüifer superficial de comportament lliure, format principalment per grava, sorres i llims. La potència màxima és d'uns 20 metres. La recàrrega natural es produeix per infiltració d'aigua de pluja, per flux subterrani procedent del nord a través de l'al-luvial, per infiltració dels lits del riu en les zones on aquest és influent i a través del seu propi al-luvial durant avençades. L'aqüifer al-luvial i la Riera de Caldes es troben connectats. També es produeix recàrrega per flux subterrani procedent de l'aqüifer detritic miocè del Vallès (ADMV). Altres fonts de recàrrega són els retorns de reg i les pèrdudes de les xarxes d'abastament i sanejament. La descàrrega principal es produeix per flux subterrani en direcció sud i sud-est cap a la cubeta de la Llagosta (AACL) i per extraccions. La descàrrega es produeix a través del riu quan aquest és efluent.

**AAT** Aqüifer al-luvial del Tenes (304A14)  
Aqüifer superficial de comportament lliure, format principalment per grava, sorres i llims associats al Tenes i a la Riera Seca. La potència màxima és d'uns 15 metres. La recàrrega natural es produeix per infiltració d'aigua de pluja, per flux subterrani procedent del nord a través de l'al-luvial, per infiltració dels lits del riu en les zones on aquest és influent i a través del seu propi al-luvial durant avençades. L'aqüifer al-luvial i el Tenes es troben connectats. A la Riera Seca el nivell d'aigua en l'aqüifer es troba per sota de la cota del lit. La recàrrega també es produeix per flux subterrani procedent de l'aqüifer detritic miocè del Vallès (ADMV). Altres fonts de recàrrega són els retorns de reg i les pèrdudes de les xarxes d'abastament i sanejament. La descàrrega principal es produeix per flux subterrani en direcció sud cap a la cubeta de la Llagosta (AACL) i per extraccions. La descàrrega es produeix a través del riu quan aquest és efluent.

**AAC** Aqüifer al-luvial del Congost (304A15)  
Aqüifer superficial de comportament lliure, format principalment per grava, sorres i llims. La potència màxima és d'uns 15 metres. La recàrrega es produeix per infiltració d'aigua de pluja, per flux subterrani procedent del nord a través de l'al-luvial, per infiltració dels lits del riu en les zones on aquest és influent i a través del seu propi al-luvial durant avençades. L'aqüifer al-luvial i el Congost es troben connectats. La recàrrega també es produeix per flux subterrani procedent de l'aqüifer detritic miocè del Vallès (ADMV). Altres fonts de recàrrega són els retorns de reg i les pèrdudes de les xarxes d'abastament i sanejament. La descàrrega principal es produeix per flux subterrani en direcció sud cap a la cubeta de la Llagosta (AACL) a través de l'estret de Montmeló i per extraccions. La descàrrega es produeix a través del riu quan aquest és efluent.

**AAM** Aqüifer al-luvial del Mogent (304A16)  
Aqüifer superficial de comportament lliure, format principalment per grava, sorres i llims. La potència màxima és d'uns 15 metres. La recàrrega natural es produeix per infiltració d'aigua de pluja, per flux subterrani procedent del nord-est a través de l'al-luvial, per infiltració dels lits del riu en les zones on aquest és influent i a través del seu propi al-luvial durant avençades. La recàrrega també es produeix per flux subterrani procedent de l'aqüifer detritic miocè del Vallès (ADMV) i, al sud-est, des dels aqüífers locals en medis de baixa permeabilitat als granits i pissarres litorals del Besòs i la Tordera (ALGPBT). Altres fonts de recàrrega són els retorns de reg i les pèrdudes de les xarxes d'abastament i sanejament. La descàrrega principal es produeix per flux subterrani en direcció sud-oest cap a la cubeta de la Llagosta i per extraccions.

**ADMV** Aqüifer detritic miocè del Vallès (304I02)  
Agrupació de nivells aqüífers constituïts per una alternança de sorres, conglomerats, lutites i gresos amb funcionaments hidràulics diferenciats: d'una banda, una part superficial alterada de les roques detritiques juxtaposats a dipòsits fluvials i al-luvials i col-luvials, on el tipus de porositat dominant és intersticial i té comportament lliure; d'una altra banda, nivells aïllats de gresos i conglomerats amb base impermeable on el tipus de porositat dominant és intersticial, amb nivells d'aigua penjats, amb comportament lliure i amb extensió limitada; i d'una altra banda encara, l'aqüifer multicapa completament saturat, on el tipus de porositat és mixt fissurat-intergranular, amb comportament localment confinat, on la base dels nivells permeables coneguts s'estima a uns 350 m de profunditat. La recàrrega principal és a través de la infiltració d'aigua de pluja. La recàrrega també es produeix per retorns de reg i les pèrdudes de les xarxes d'abastament i sanejament. La descàrrega es produeix per flux subterrani en direcció als al-luvials principals. La descàrrega es produeix per extraccions i per urgències.

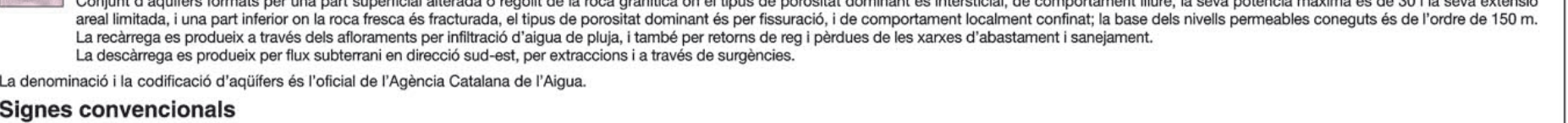
### Àrea hidrogeològica paleozoica i granítica de Collserola-Maresme (305)

**ALGPBT** Aqüífers locals en medis de baixa permeabilitat als granits i les pissarres litorals del Besòs i la Tordera (305H02)  
Agrupació d'aqüífers formada per una part superficial alterada o regolít de la roca granítica i/o metamòrfica on el tipus de porositat dominant és intersticial, de comportament lliure, la seva potència màxima és de uns 20 metres i la seva extensió areal limitada, i una part inferior on la roca fresca és fracturada/fissurada, el tipus de porositat dominant és per fissuració, i el seu comportament localment confinat; s'estima que la base dels nivells permeables és de l'ordre de 200 m. La recàrrega principal es produeix a través dels afloraments per infiltració d'aigua de pluja. Altres fonts de recàrrega són els retorns de reg i les pèrdudes de les xarxes d'abastament i sanejament. La descàrrega es produeix per flux subterrani cap als aqüífers al-luvials de la cubeta de la Llagosta (AACL) i al-luvial del Mogent (AAM), per extraccions i a través de urgències.

**ALGPM** Aqüífers locals en medis de baixa permeabilitat als granits i les pissarres del Maresme (305H01)  
Conjunt d'aqüífers formats per una part superficial alterada o regolít de la roca granítica on el tipus de porositat dominant és intersticial, de comportament lliure, la seva potència màxima és de 30 i la seva extensió areal limitada, i una part inferior on la roca fresca és fracturada, el tipus de porositat dominant és per fissuració, i de comportament localment confinat; la base dels nivells permeables coneguts és de l'ordre de 150 m. La recàrrega es produeix a través dels afloraments per infiltració d'aigua de pluja, i també per retorns de reg i pèrdudes de les xarxes d'abastament i sanejament. La descàrrega es produeix per flux subterrani en direcció sud-est, per extraccions i a través de urgències.

La denominació i la codificació d'aqüífers és l'oficial de l'Agència Catalana de l'Aigua.

### Signes convencionals



1 Insignificant

**Vulnerabilitat**

El mapa de vulnerabilitat (Viguer i al., 1987) mostra els nivells de vulnerabilitat per processos naturals i humans. El mètode DRASTI es basa en criteris de recàrrega i avallament. El mapa resultant estableix els nivells de vulnerabilitat en funció dels emplaçaments d'aqüífers i els processos que resultaran afectada. Aquest mapa permet classificar els nivells de vulnerabilitat que s'han classificat i realitzar estudis específics per a cada nivell.

**ICC**  
Institut Cartogràfic  
de Catalunya

Generalitat de Catalunya  
Departament de Territori  
i Sostenibilitat

**Direcció i coordinació del projecte:**  
Xavier Berástegui i Batalla  
Pere Martínez Figueras

**Gestió SIG:**  
Ana Isabel de Paz Magaz  
Jordi Marturià Alavedra

**Coordinació del full:**  
Jordi Piña Iglesias  
Isabel Tubau Fernández

**Autors:**  
Ignasi Herms Canellas (Geocat). Capes d'informació de base  
Georgina Arnó Pons (Geocat). Capes d'informació de base  
Montse Colomer (Geocat). Capes d'informació de base  
Meritxell Badia (Geocat). Capes d'informació de base  
Víctor Clemente (Geocat). Capes d'informació de base  
Adriana Castrillo Alvera (Geocat). Capes d'informació de base  
Miquel Tolrà (Geocat). Capes d'informació de base  
Jordi Comas (Geocat). Capes d'informació de base  
Joan Sunyer (Geocat). Capes d'informació de base

**Amb la col·laboració:**  
Mireia Iglesias Carrera (ACA), Josep Fraile i Maseras (ACA), Xavier Carreras i Ibáñez (ACA), Elena Floría García (ACA), Fidel Ribera Urenda (FCIHS), Helena Dorca i Arau (FCIHS), Mònica Fernández Santalucía (IGC)

Treball de camp: desembre de 2009

El contingut del Mapa hidrogeològic de Catalunya s'estructura en tres grups d'informació: propietats hidrogeològiques del medi, dinàmica i qualitat de les aigües.

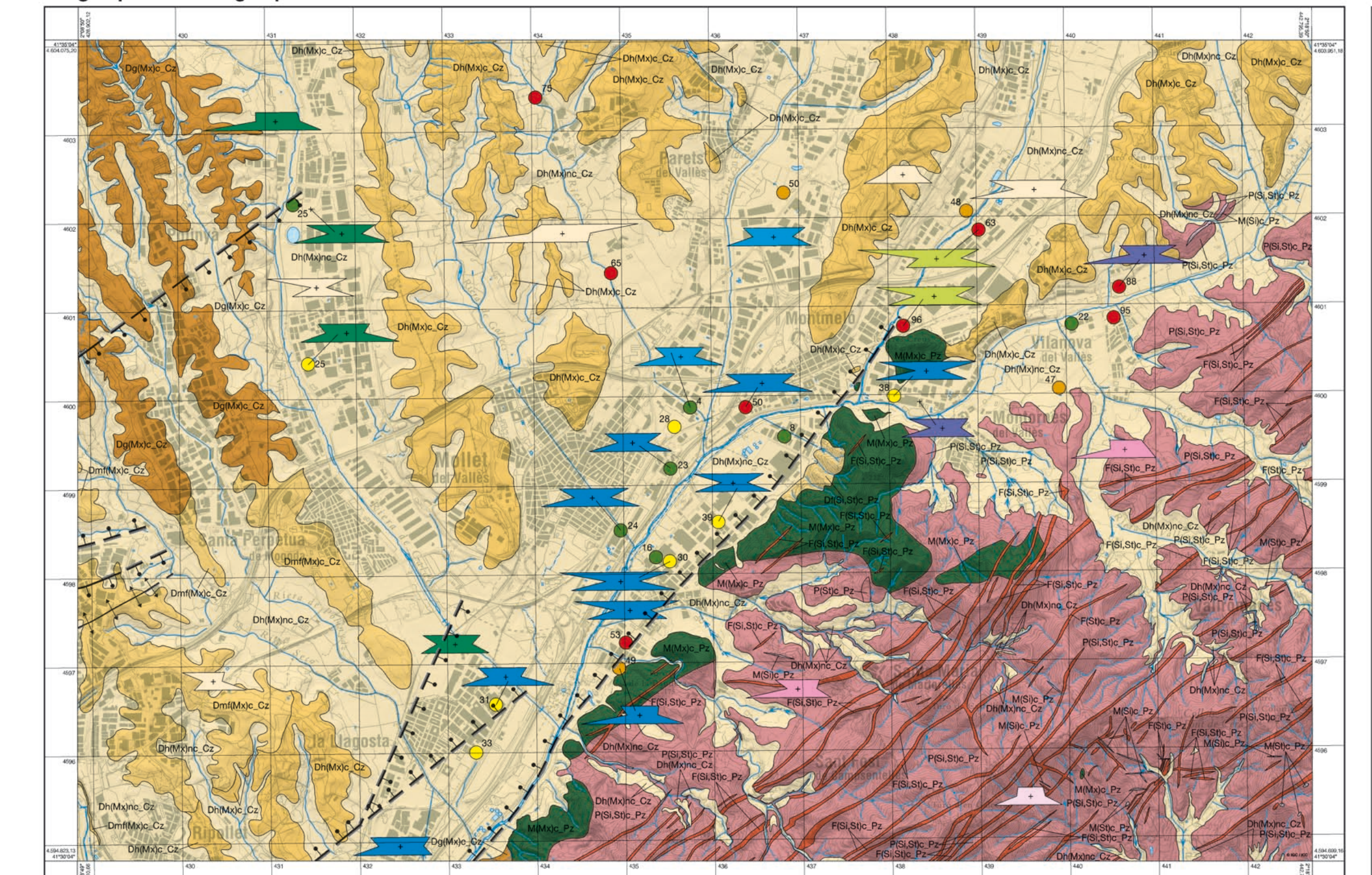
En relació a les propietats hidrogeològiques del medi se'n descriuen la geometria, les propietats hidràuliques i geoquímiques de les roques amb incorporació d'atributs referents a la permeabilitat, el tipus de porositat i el caràcter litològic, obtinguts a partir de les dades del Mapa geològic 1:25 000 (Geotreball I) i diversa informació bibliogràfica.

Pel que fa a la dinàmica de les aigües se'n representen les condicions hidràuliques més rellevants, tals com la piezometria, els principals punts d'extracció i surgències i evolució de nivells. Quant a la qualitat de les aigües es fa la descripció de les condicions hidroquímiques principals, tals com els continguts en elements majoritaris i components amb possible influència antròpica (salinitat i nitrats). La informació ha estat obtinguda a partir de les bases de dades de l'Agència Catalana de l'Aigua, de la base de dades de la Fundació Centre Internacional d'Hidrologia Subterrània (FCIHS) i complementada amb treball de camp. Per a accedir a la informació cal contactar amb l'Agència Catalana de l'Aigua o l'Institut Geològic de Catalunya.

La resolució màxima de la informació continguda al mapa és la corresponent a l'escala 1:25 000. Qualsevol interpretació a escala superior pot comportar errors.

#### **Mapa hidrogeològic 1:25 000**

Litogeоquímic i hidrogeоquímic 1:50 000



**Llegenda**

**Mixtos**

- Dg(Mx)c\_Cz Conglomerats cenozoics
- Dh(Mx)c\_Cz Lutites, gresos i conglomerats cenozoics
- Dmf(Mx)c\_Cz Lutites i gresos cenozoics
- Df(Si, St)c\_Pz Lutites paleozoiques

**Mixtos no consolidats**

- Dh(Mx)nc\_Cz Graves, sorres, llims i argiles cenozoics

**Quars i silicats**

- F(Si, St)c\_Pz Aplites paleozoiques
- P(Si, St)c\_Pz Granodiorites paleozoiques
- M(Mx)c\_Pz Cornubianites, pissarres pigallades i fil-lites pigallades paleozoiques

**Silicats**

- F(St)c\_Pz Microdiorites afíriques paleozoiques
- P(St)c\_Pz Quarsidiorites paleozoiques
- M(St)c\_Pz Episienites paleozoiques

**Quars**

- M(Si)c\_Pz Quars paleozoic

**Origen**

D: detritica (granulometria: g: grollera; m: mitjana; f: fina, h: heterograngular); M: metamòrfiques; P: plutòniques; F: filonianes

**Químisme-mineralogia**

Si: silícic; St: Silicatat; Mx: mixt silícic/silicatat/carbonàtic

**Grau de consolidació**

nc: no consolidat; c: consolidat

**Edat de la formació**

Cz: Cenozoic; Pz: Paleozoic

**Nitrats**

- <25mg/l
- 25-40 mg/l
- 40-50 mg/l
- 50-100 mg/l
- >100 mg/l

Els valors de nitrats provenen de les analítiques realitzades a la xarxa de control de l'Agència Catalana de l'Aigua. Per a cada estació de control es representa la concentració mitjana corresponent al període 2004-2007 (Quart període de control de la directiva 91/676/CEE).

**Diagrames de Stiff modificats**

El diagrama de Stiff modificat mostra set patrons d'equilibri hidrotermals:

- AACL
- AARC
- AATN
- AAC
- AAM
- ADMV
- ALGPBT
- ALGPM

Abaxialment, hi ha un diagrama que mostra la distribució de cations ( $\text{Na}^+$ ,  $\text{K}^+$ ,  $\text{Mg}^{2+}$ ,  $\text{Ca}^{2+}$ ) i anions ( $\text{Cl}^-$ ,  $\text{SO}_4^{2-}$ ,  $\text{HCO}_3^-$ ) en meq/L.

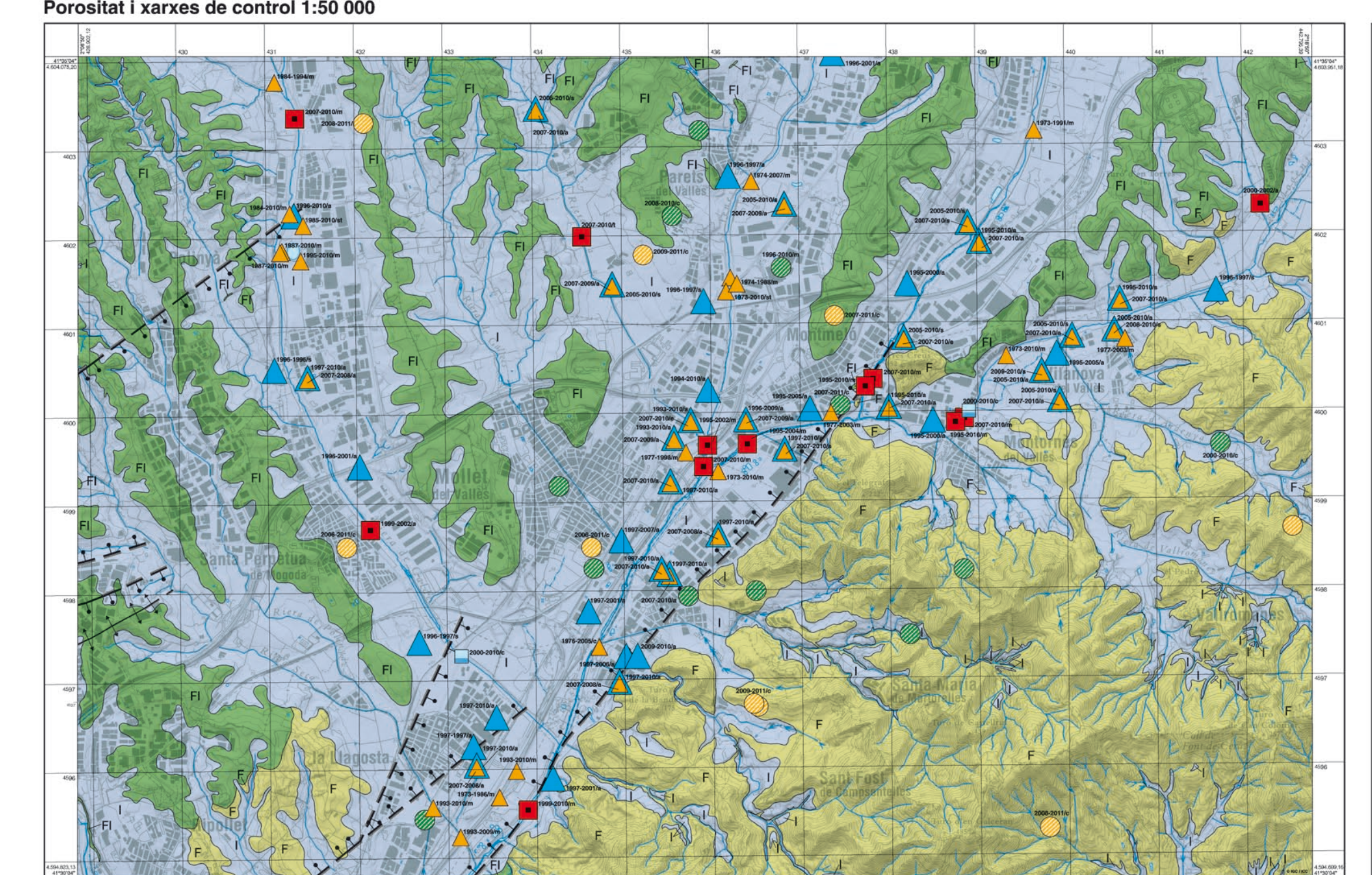
Els valors analítics provenen de la xarxa de vigilància (V) de l'Agència Catalana de l'Aigua i de la base de dades de la Fundació Centre Internacional d'Hidrologia Subterrània.

**Signes convencionals**

- Contacte geològic indiferenciat
- Falla normal
- Falla normal suposada
- Falla normal fossilitzada
- Anticinal suposat
- Anticinal fossilitzat

**Litologia, conductivitat hidràulica i piezometria**

The figure consists of two geological cross-sections. The upper section, labeled 'Tall III-III'', shows a profile from 'el Mogent' on the west to 'el Recès' on the east. It includes a vertical scale bar for meters (0 to 150) and a 'SE' indicator. Key features include a yellow-shaded area representing the Qac<sub>3</sub> unit, a blue-shaded area for AAM, and an orange-shaded area for 3A(PV) ALGPBT. Specific layers like Qt<sub>0</sub>, Qt<sub>1</sub>, and Ggd<sub>2</sub> are also labeled. The lower section, labeled 'Tall VI-VI'', shows a profile from 'el Recès' on the west to 'el Recès' on the east. It includes a vertical scale bar for meters (0 to 150) and a 'SE' indicator. It shows a yellow-shaded area for Qac<sub>3</sub> and a blue-shaded area for AAM.



**Llegenda**

**Tipus de porositat**

- F Porositat per fissuració
- FI Porositat mixta per fissuració intergranular
- I Porositat intergranular

**Xarxes de control**

**Aigües subterrànies (ACA)**

- Control de qualitat (1996-1997/m)
- Control piezomètric (1973-2010/m)

**Aigües superficials (ACA)**

- Control de qualitat (2007-2010/m)
- Estacions d'aforament (2000-2010/c)

**Estacions meteorològiques**

- Estacions automàtiques no professionals (2007-2011/c)
- Estacions automàtiques professionals (1996-2010/m)

**Etiquetes dels símbols**

2007-2011/c Inici presa de dades final presa de dades. Periodicitat (c-continu; st-setmanal; m-mensual, t-trimestral, s-semestral, a-anual)

**Signes convencionals**

- Contacte geològic indiferenciat
- Falla normal
- Falla normal suposada
- Falla normal fossilitzada
- Anticlinal suposat

**Llegenda**

- Qt<sub>1</sub>. Graves amb matriu sorrenca. Permeabilitat alta.
- Qt<sub>2</sub>. Graves amb matriu sorrenca. Permeabilitat alta.
- Qac<sub>3</sub>. Graves subarrodònides, mal seleccionades amb matriu sorrenca il·limosa. Permeabilitat mitjana.
- Qac<sub>4</sub>. Graves de subanguloses a anguloses amb matriu sorrenca. Permeabilitat mitjana.
- Qvg. Graves, còdols i blocs amb matriu argilosa. Permeabilitat mitjana.
- NMgo. Gresos amb intercalacions de lutites i conglomerats polimètrics. Permeabilitat moderada.
- NMiC. Lutites i gresos arcòsics amb intercalacions de graves. Permeabilitat baixa.
- NMsA. Sorres arcòsiques amb intercalacions de graves i de lutites. Permeabilitat moderada.
- mc\_EOgp. Cornubianites: pissarres pigallades, fil-lites pigallades i cornianes. Permeabilitat baixa.
- EOgp. Lutites grises amb intercalacions locals mil·limètriques de gresos de gra fi. Permeabilitat baixa.
- Ggd<sub>2</sub>. Granodiorites biotítiques amb biotites. Permeabilitat moderada.
- A Materials d'origen antròpic

**Àrea hidrogeològica de la Depressió del Vallès (304)**

- AACL Aqüifer al-luvial de la cubeta de la Llagosta (304A11)
- AARC Aqüifer al-luvial de la Riera de Caldes (304A13)
- AATN Aqüifer al-luvial del Tenes (304A14)
- AAC Aqüifer al-luvial del Congost (304A15)
- AAM Aqüifer al-luvial del Mogent (304A16)
- ADMV Aqüifer detritic miocè del Vallès (304I02)

**Àrea hidrogeològica paleozoica i granítica de Collserola-Maresme (305)**

- ALGPBT Aqüífers locals en medis de baixa permeabilitat als granits i pissarres litorals del Besòs i la Tordera (305H02)

**Tall IV-IV'**

NW

m

150

100

50

Riera Seca

Tal

AACL

Qac<sub>3</sub>

4E

ADMV

3D

5E

Qt<sub>1</sub>

AA

The figure consists of several geological maps and cross-sections:

- Top Left:** A small map showing the location of the study area relative to surrounding regions.
- Top Right:** A geological cross-section (V-V') showing vertical profiles. The left profile (SE) includes labels for **ALGPBT**, **3A(PV)**, **el Besòs**, **mc\_EOgp**, **2C**, **ALGPBT**, **AACL**, **4E**, **Qt<sub>0</sub>**, **Qt<sub>1</sub>**, **NMsma**, **3D**, **ADMV**, **5E**, **Qt<sub>0</sub>**, **Qt<sub>1</sub>**, **EOgp**, **2D**, and **2C**. The right profile (V-V') shows similar geological units and labels like **ADMV**, **4E**, **Qt<sub>1</sub>**, **Qt<sub>2</sub>**, **NMsma**, and **ADMV**. Scale bars indicate **EH: 1: 25 000** and **EV: 1: 1 000**.
- Bottom Left:** A detailed vertical profile (VI-VI') showing the stratigraphy of the **el Besòs** area. It includes labels for **ALGPBT**, **3A(PV)**, **el Besòs**, **mc\_EOgp**, **2C**, **ALGPBT**, **AACL**, **4E**, **Qt<sub>0</sub>**, **Qt<sub>1</sub>**, **Qac<sub>3</sub>**, **CI**, and **Gad<sub>3</sub>**.
- Bottom Right:** A geological cross-section (SW) showing vertical profiles for three rivers: **Riera Seca**, **Riera de Polinyà**, and **Riera de Calders**. It includes labels for **ADMV**, **4E**, **Qac<sub>3</sub>**, **AACL**, **Qac<sub>3</sub>**, **AACL**, **Qac<sub>3</sub>**, **Qac<sub>3</sub>**, **ADMV**, and **ADMV**.

This geological cross-section diagram illustrates the stratigraphy and topography of a subsurface area. The vertical axis represents elevation in meters (m), with markers at 0, 50, 100, and 150 m. The horizontal axis represents distance, with labels 3D, 2D, 5E, Qt<sub>0</sub>, Qt<sub>1</sub>, AACL, ALGPBT, Qac<sub>3</sub>, 4E, Ggd<sub>2</sub>, 3A(PV), and mc\_EOgp.

The diagram shows several distinct geological units:

- AACL:** A light blue unit labeled AACL 5E, AACL, and 4E.
- ALGPBT:** A yellow/orange unit labeled ALGPBT, appearing in multiple locations.
- Qac<sub>3</sub>:** A thin, light yellow layer labeled Qac<sub>3</sub>.
- Ggd<sub>2</sub>:** An orange unit labeled Ggd<sub>2</sub>.
- 3A(PV):** An orange unit labeled 3A(PV).
- mc\_EOgp:** A blue unit labeled mc\_EOgp.
- Qt<sub>0</sub>, Qt<sub>1</sub>:** Units labeled Qt<sub>0</sub> and Qt<sub>1</sub>.
- 3D, 2D, 5E:** Units labeled 3D, 2D, and 5E.

Topographic elevations are indicated by contour lines and values (100, 50, 0 m) on the right side. A vertical profile line labeled 'A' is shown on the left, intersecting the AACL and ALGPBT units. A red arrow points downwards from the AACL 5E layer towards the base of the section.

